

ИЗМЕРЕНИЯ ФУНКЦИИ РАСПРЕДЕЛЕНИЯ ЭНЕРГИИ
ЭЛЕКТРОНОВ В СТОЯЧИХ СТРАТАХ

Л. А. Зайцев, М. З. Новгородов, И. А. Савченко

УДК 533.9.621.039.61.

Зондовым методом измерены функции распределения электронов по энергиям, концентрации и средние энергии электронов вдоль оси стратифицированного положительного столба в Не. Выявлены основные закономерности поведения электронов в затухающих статах начала положительного столба.

Эксперименты /I-6/ показывают, что в статах большой амплитуды функция распределения энергии электронов может иметь два максимума, соответствующие двум группам электронов с низкой и высокой энергией. Высокознергетическая группа образуется электронами, ускоренными в области сильного электрического поля (или скачка потенциала), находящейся на краю стата, обращенном к катоду.

Наши результаты относятся к разряду в гелии, происходящему в трубке с холодными электродами форчу полого цилиндра ($r = 0,15$ тор, $I = 30$ ма, $2R = 6$ см, $L = 80$ см). При указанных условиях в начале положительного столба существуют затухающие стоячие статы. Длина стата $\lambda = 13$ см. Измерения производились в пределах первой и начала второй статы, а также в прилегающей к положительному столбу части Фарадеева темного пространства (FDS).

Распределение энергии электронов изучалось методом второй, производной зондовой характеристики (i_8''). Двойное дифференцирование осуществлялось путем введения в зондовую цепь синусоидального сигнала малой амплитуды, по так называемому методу второй гармоники. Записанные на двухкоординатном самописце вторые

производные i_s'' обрабатывались на ЭВМ. Программа обработки включала нормировку кривых распределения, вычисление средней энергии, средней скорости и концентрации электронов. За потенциал пространства плазмы принимается такое значение потенциала зонда, при котором i_s'' обращается в нуль.

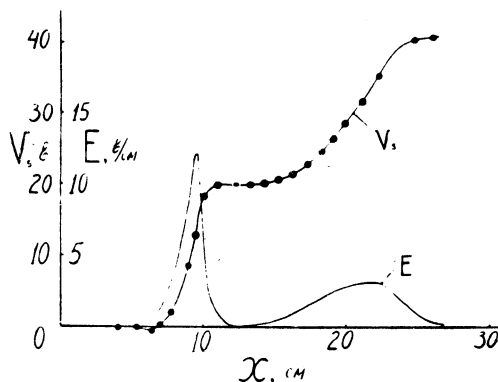
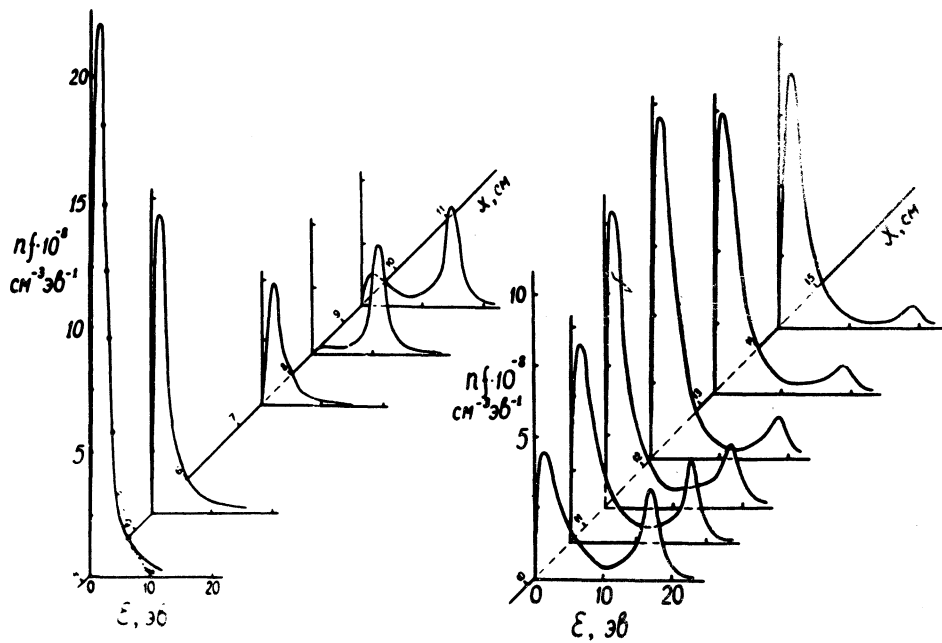


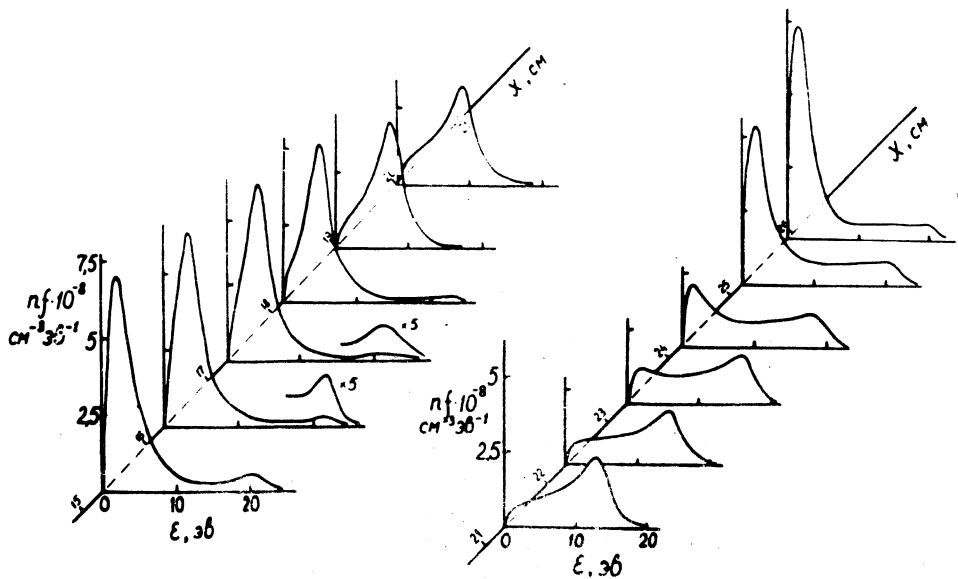
Рис. I. Распределение потенциала пространства V_s и продольного электрического поля E вдоль оси разряда.

На рис. I показаны кривые распределения потенциала пространства V_s и продольного электрического поля E вдоль оси разряда (x растет в сторону анода). Поле E получено графическим дифференцированием кривой V_s . Крутой подъем (или скачок) потенциала при переходе из FDS в положительный столб происходит в зоне шириной в 3,5 см. Среднее значение поля в положительном столбе, определяемое как $E = U_\lambda / \lambda$ (U_λ – падение потенциала на длине страты), равно 1,54 в/см. Максимум световой эмиссии приходится в первой страте на точку $X = 10$ см, во второй – на точку $X = 23$ см.

На рис. 2 и 3 приведены кривые распределения энергий. Распределение в FDS в области малых энергий может быть аппроксимировано максвелловским (кружки), но число частиц с высокими энергиями здесь несколько больше. Средняя энергия электронов $\bar{\epsilon}$ и концентрация n_e в точке $x = 4,1$ см равны соответственно 2,5 эв и 10^{10} см^{-3} , в точке $x = 5,3$ см $n_e = 4,3 \cdot 10^9 \text{ см}^{-3}$, $\bar{\epsilon} = 2,5$ эв. В зоне скачка потенциала распределение сильно деформируется. Здесь формируется распределение с двумя максимумами – один, (высо-



Р и с. 2. Распределение электронов по энергиям.



Р и с. 3. Распределение электронов по энергии.

коэнергетический) происходит от группы быстрых электронов, получивших ускорение в сильном поле, другой (низкоэнергетический) — от группы медленных электронов, образующихся при неупругих соударениях. Становление высокоенергетического максимума выявляется вполне отчетливо. За скачком потенциала электроны попадают сначала в сравнительно узкую зону, в которой почти нет никакого поля, а затем — в широкую смешную зону медленно изменяющегося ускоряющего поля. Начиная с этого момента оба максимума на кривой распределения начинают перемещаться в сторону более высоких энергий. Смещение максимумов определяется величиной пройденной электронами разности потенциалов. Высокоенергетическая группа ослабляется при движении вдоль разряда благодаря неупругим соударениям и диффузии к стенкам и, наконец, перестает наблюдаться. Это происходит в точке $x = 18,5$ см. Энергия быстрых электронов достигает перед этим 23 эв. В дальнейшем функция распределения испытывает такие же по характеру изменения, как и в зоне скачка потенциала. Низкоэнергетический максимум постепенно трансформируется в высокоенергетический. В начале второй стадии ($x = 23,3$ и $24,2$ см) распределение снова обнаруживает два определенных максимума.

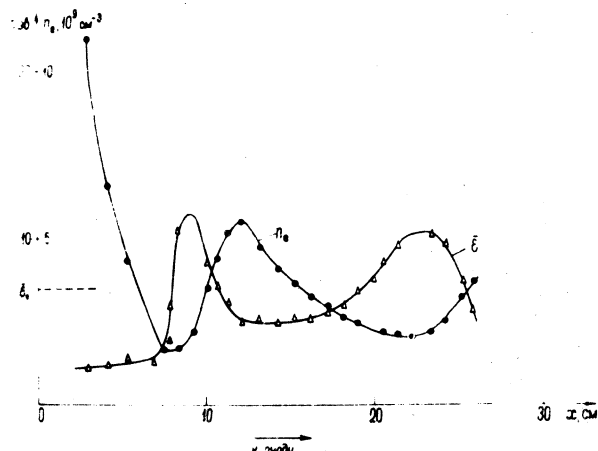


Рис. 4. Распределение средней энергии $\bar{\epsilon}$ и концентрации электронов n_e вдоль оси разряда.

В условиях наших опытов высокозергетическая группа электронов, образовавшаяся в зоне скачка потенциала, обнаруживается на протяжении $3/4$ длины страты. В водороде при одинаковых условиях геометрии трубы и давления газа стоячие страты имеют в 1,5 - 2 раза меньшую длину, чем в инертных газах. Поэтому часть электронов, ускоренных в одном скачке потенциала, может пройти всю длину страты и снова ускориться в следующем скачке потенциала, образуя группу сверхбыстрых электронов /1,4/.

Рис. 4 иллюстрирует изменение средней энергии \bar{E} и концентрации n_e электронов.

Максимум средней энергии находится в точке $x = 9,3$ см, а максимум концентрации в точке $x = 12,1$ см.

Максимум концентрации электронов смешен относительно максимума средней энергии в сторону анода на $\lambda/4$.

Поступила в редакцию
2 марта 1973 г.

Л и т е р а т у р а

1. R. L. Boyd, N. D. Twiddy. Proc. Roy. Soc., 250, 1260 (1959).
2. S. W. Rayment, N. D. Twiddy. Nature, 216, 5116 (1967).
3. Ю. М. Каган, Н. Б. Колоколов, Т. А. Крылов, В. М. Миленин. ИТФ, 41, 120 (1971).
4. Ю. М. Каган, Н. К. Митрофанов. ИТФ, 41, 2065 (1971).
5. А. Благоев, Н. Б. Колоколов, В. М. Миленин. ИТФ, 42, 170 (1972).
6. К. Ф. Бессонова, О. Н. Орешак, Е. П. Остапченко, В. А. Степанов. ИТФ, 41, 779 (1971).